

# ПОЛУЧЕНИЕ ФАЗОВЫХ СТРУКТУР В ОПТИЧЕСКИХ МАТЕРИАЛАХ

В.И.Наливайко<sup>1</sup>, Г.С.Юрьев<sup>2</sup>, Б.Г.Гольденберг<sup>3</sup>, К.Г.Бессонов<sup>1</sup>

1) Институт автоматики и электрометрии СО РАН, Новосибирск

2) Сибирский Центр синхротронного излучения, Новосибирск

3) Институт ядерной физики им.Г.И.Будкера СО РАН, Новосибирск

Проведены исследования изменений оптических свойств и структуры халькогенидных и оксидных стекол при воздействии рентгеновского синхротронного излучения для получения фазовых профилей в этих материалах в виде изменений показателя преломления или рельефа поверхности.

Для экспонирования выбраны пленочные образцы халькогенидных стекол толщиной 1 – 10 мкм состава As-S, As-S-Se и As-Se. Оксидные стекла представлены в виде массивных полированных пластин толщиной 2 – 4 мм марки К-108 и КВ.

Экспонирование образцов проводились на сканирующем стенде станции "LIGA-2" в канале вывода СИ из накопителя ВЭПП-3 "белым пучком" рентгеновского СИ (при энергии электронов в накопителе 2 ГэВ, поле в точке излучения 2 Т) в спектральном диапазоне от 2 до 30 кэВ, при плотности падающей мощности 0,75 кДж/см<sup>2</sup> [1].

Исследования структуры образцов до и после экспонирования проводилось на дифрактометре высокого разрешения с использованием синхротронного излучения ВЭПП-3.

По полным массовым коэффициентам ослабления для фотоэффекта проводился расчет линейных коэффициентов поглощения входящих в состав стекол элементов. По результатам расчетов оценивалась глубина экспонированной области стекол. Для получения информации об изменениях оптических свойств и структуры стекол в результате облучения СИ применялись фазоконтрастные и спектральные методики в оптическом диапазоне и рентгеноструктурные исследования на  $\lambda_{\text{Cu}, \text{Mo}} \approx 1,54$  и 0,7 А.

В халькогенидных пленках толщиной 1 мкм контактным проецированием тестовых объектов с помощью синхротронного излучения [2] и последующего селективного травления получены рельефные изображения объектов глубиной до  $3\lambda$  в оптическом диапазоне ( $\lambda = 0,55$  мкм).

В оксидных стеклах после облучения рентгеновским излучением в результате изменения структуры отмечены большие увеличения коэффициентов поглощения в видимой области спектра. Этим изменениям сопутствовали возрастания показателей преломления стекол, что позволило реализовать фазовые профили тестовых объектов в пластинах этих материалов. Также отмечено различие в скоростях травления экспонированных и неэкспонированных участков стекол.

Экспериментальные дифракционные картины неэкспонированных пленочных образцов  $\text{As}_2\text{S}_3$  показали наличие как меж-, так и внутримолекулярной дифракции. Структура пленок халькогенидного стекла представлена нами молекулярными образованиями из пяти атомов  $\text{As}_2\text{S}_3$ , расположеными в пространстве на расстоянии 0,5с, причем развернутые относительно центра молекулы на 90°, затем эти молекулы последовательно транслированы на расстояния 0,5 в, 0,37 а и 0,5с. Параметры моноклинной элементарной ячейки  $a = 11,562$  А,  $b = 9,2607$  А,  $c = 4, 267$  А,  $\gamma = 90,82^\circ$  [3]. Сравнение экспериментальных и теоретически рассчитанных дифракционных картин демонстрируется (Рис.1).

Изучено изменение экспериментальных дифракционных картин пленок  $\text{As}_2\text{S}_3$ , облученных СИ на станции "LIGA-2", ВЭПП-3 и лазерным излучением ( $\lambda = 0,5154$  мкм). Обнаружено отсутствие межмолекулярной дифракции в образцах, облученных лазерным излучением. Это указывает на образование единой пространственной сетки химических связей между молекулами  $\text{As}_2\text{S}_3$  в результате взаимодействия с оптическим излучением. В

случае облучения образцов синхротронным излучением кроме внутримолекулярной дифракции представлена межмолекулярная дифракция (110), (100) отражениями, аналогичными поликристаллическому состоянию [3].

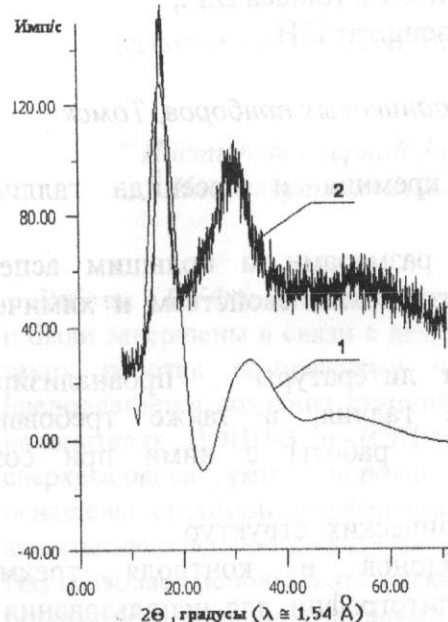


Рис.1. Теоретическая (1) и экспериментальная (2) картины рентгеновской дифракции для пленки  $\text{As}_2\text{S}_3$ , полученной термическим напылением в вакууме.

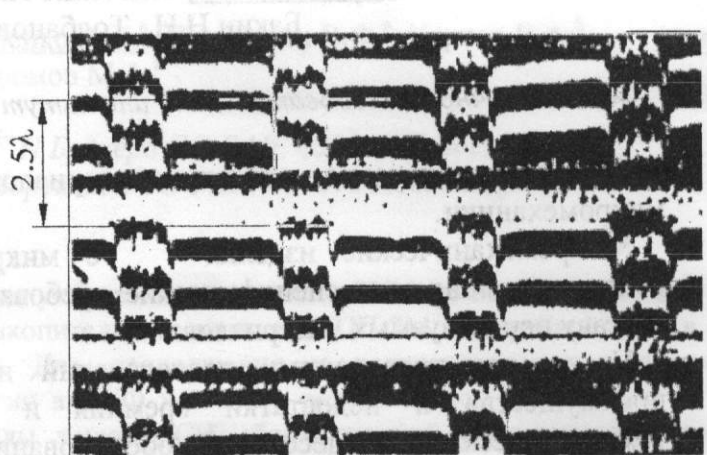


Рис.2. Интерферограмма изображения тест-объекта в халькогенидной пленке с глубиной рельефа  $2,5 \lambda$  ( $\lambda = 0,55 \text{ мкм}$ ).

В итоге, с помощью селективного травления облученных синхротронным излучением образцов халькогенидных и оксидных стёкол получены рельефные изображения тестовых объектов – металлических сеток (Рис.2). Дифрактометрически показано, что в структуре тонких слоёв  $\text{As}_2\text{S}_3$  кроме единой сетки связей между атомами (внутримолекулярная дифракция) существуют межмолекулярные образования (межмолекулярная дифракция на молекулах  $\text{As}_2\text{S}_3$ ), отстоящие рядом на расстоянии  $d \cong 4,9 \text{ \AA}$  ( $n\lambda = 2d \cdot \sin\Theta$ ,  $\Theta \cong 18^\circ$ ,  $\lambda = 1,54 \text{ \AA}$ ). После облучении синхротронным излучением слоев  $\text{As}_2\text{S}_3$  дифракционная картина, в отличие от случая облучения лазерным излучением, показывает отражения (110), (100) выделившихся поликристаллов.

- [1] А.Н.Генцелев, Б.Г.Гольденберг, В.И.Кондратьев, Г.Н.Кулипанов, Л.А.Мезенцева, Г.Мигинская, С.И.Мишнев, В.П.Назьмов, В.Ф.Пиндюрин, В.М.Цуканов. LIGA-станция на накопителе ВЭПП-3//публикуется в трудах конференции РСНЭ-2001, Москва, ИК РАН, 21-25 мая, 2001г.
- [2] В.П.Короневич, Г.Н.Кулипанов, В.И.Наливайко, В.Ф.Пиндюрин, А.Н.Скринский, ДАН СССР, т. 239, № 6, (1978) 1334.
- [3] ICSD Collection code N 15239.

Наливайко Валерий Игоревич, nalivaiko@L23.iae.nsk.su  
ИАЭ СО РАН, пр. ак. Коптюга 1, 630090, Новосибирск